

Mn²⁺/Eu³⁺共掺杂Zn₂GeO₄长余辉基质材料发光机理的研究

吴成国¹, 裴克梅², 何苏红¹, 黄雁华¹

(1. 陆军工程大学, 南京 211011; 2. 浙江理工大学, 杭州 310000)

摘要:本文利用基于密度泛函理论的第一性原理方法,从理论角度研究了Mn²⁺/Eu³⁺共掺杂对Zn₂GeO₄长余辉基质材料光学性能调制的机理。根据相关文献实验结果,我们构建了Mn²⁺/Eu³⁺共掺杂Zn₂GeO₄晶体结构模型。研究结果表明,Mn²⁺掺杂使Zn₂GeO₄晶体结构更加稳定,同时会引起晶体中的电荷离域化,从而使Mn²⁺离子成为发光中心;Eu离子在Zn₂GeO₄晶体以+3价存在,成为陷阱中心。在此基础上,我们构建了Mn²⁺/Eu³⁺共掺杂Zn₂GeO₄晶体长余辉发光机制模型。

关键词:第一性原理方法;长余辉基质材料;发光机理;发光中心;陷阱中心

中图分类号:O742+.9 **文献标识码:**A **DOI:** 10.19907/j.0490-6756.2021.064006

Luminescence mechanism studies on Mn²⁺/Eu³⁺ co-doped Zn₂GeO₄ long afterglow system

WU Cheng-Guo¹, PEI Ke-Mei², HE Su-Hong¹, HUANG Yan-Hua¹

(1. Army Engineering University of PLA, Nanjing 211011, China;
2. Zhejiang Sci-Tech University, Hangzhou 310000, China)

Abstract: Using the first-principles method based on density functional theory, the luminescence mechanism of Mn²⁺/Eu³⁺ co-doped Zn₂GeO₄ long afterglow system was studied theoretically. The crystal structure model of Mn²⁺/Eu³⁺ co-doped Zn₂GeO₄ was constructed based on the experimental results of related literatures. The results show that Mn²⁺ doping makes the crystal structure of Zn₂GeO₄ more stable, and at the same time, Mn²⁺ doping causes the charge delocalization in the crystal, Mn²⁺ ions become the luminescence centers; Eu ions exist in the Zn₂GeO₄ crystal with valence of +3 and become the trap centers. On this basis above, the long afterglow luminescence mechanism model of Mn²⁺/Eu³⁺ co-doped Zn₂GeO₄ crystal system was discussed.

Keywords: First-principles method; Long afterglow matrix materials; Luminescence mechanism; Luminous center; Trap center

1 引言

Zn₂GeO₄晶体作为新型长余辉发光基质材料,由于其优良的热稳定性和特殊的光电性能,在弱光

紧急照明和超高密度光学存储等高新领域有着广泛的应用前景^[1-4]。然而在其实用化的进程中还需要解决两方面的问题:发光的多色性和持续发光的稳定性。目前解决这两个问题最有效的途径是对

收稿日期: 2021-03-30

基金项目: 国家自然科学基金(21673208); 陆军工程大学基础学科培育基金(KYJBQZL1910)

作者简介: 吴成国(1975—), 男, 安徽枞阳人, 副教授, 研究方向为晶体材料电子结构和光学性质. E-mail: wcg68288@sina.com

通讯作者: 裴克梅. E-mail: peikemei@zstu.edu.cn

Zn_2GeO_4 进行过渡金属离子和稀土金属离子掺杂^[5-7]。研究人员^[5-7]通过实验发现:在 Zn_2GeO_4 基质晶体材料中掺杂过渡金属 Mn^{2+} 离子, Mn^{2+} 离子将替代 Zn^{2+} 离子成为光激活离子, 在 Zn_2GeO_4 基质材料中形成发光中心, 持续稳定地发出绿色荧光; 通过掺杂稀土金属 Eu 离子形成陷阱中心, 在 Eu 离子和 Mn^{2+} 离子之间形成稳定的能量传递通道, 提高其发光持续时间, 进一步优化了 Zn_2GeO_4 基质晶体材料长余辉性能。

根据 Eu/Mn 离子掺杂 Zn_2GeO_4 晶体长余辉性能的研究文献, 我们发现有以下三个方面的问题需要进行更深入地分析和讨论。一是 Mn^{2+} 离子替代 Zn^{2+} 离子会造成 Zn_2GeO_4 晶体晶格收缩^[5]。而这种晶格收缩会否降低 Zn_2GeO_4 晶体结构的稳定性。二是 Eu 离子在 Zn_2GeO_4 晶体中是以 +2 价还是 +3 价存在尚有争论^[8-13]。三是在 Zn_2GeO_4 基质材料中, Mn^{2+} 离子掺杂能使材料发出绿色荧光, 而 Eu/Mn 离子共掺杂同样还是发出绿色荧光^[14-15], 针对以上实验结果如何构建合理的发光机制理论模型。本文基于密度泛函理论的第一性原理方法计算了本征 Zn_2GeO_4 以及 Eu/Mn 离子掺杂 Zn_2GeO_4 晶体的 XRD 图谱、态密度和电荷差分密度等性质。希望通过以上研究, 进一步理解 Eu/Mn 离子掺杂 Zn_2GeO_4 晶体长余辉发光机制, 为该晶体

材料的应用提供一定的数据和理论基础。

2 晶体结构模型和计算方法

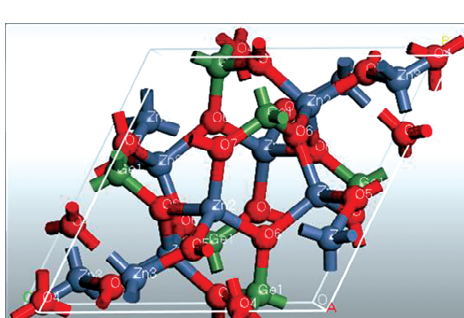
常温下本征 Zn_2GeO_4 晶体属于 R-3R (No. 148) 空间群, 晶格常数为 $a=b=c=0.8836\text{ nm}$, 晶体角 $\alpha=\beta=\gamma=107.7^\circ$, 体积 $V=0.563\text{ nm}^3$ 。其原子结构坐标如表 1 所示。

根据表 1 晶格参数和原子结构坐标, 我们利用 Material Studio 软件建立晶胞模型, Zn_2GeO_4 晶体结构优化和相关性质的计算全部由 CASTEP 模块完成。交换-关联势选取广义梯度近似(GGA)来处理。参与计算的各原子价电子组态分别为: Zn 3d4s4p, Ge 4s4p, O 2s2p, Mn 3d4s, Eu 4f5s5p6s。其他轨道的电子对计算结果可近似忽略。

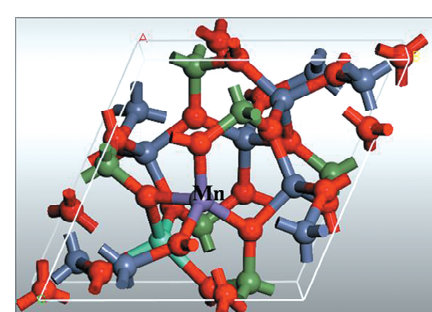
表 1 本征 Zn_2GeO_4 晶体原子结构坐标

Tab. 1 Coordinates of atom within Zn_2GeO_4 crystal

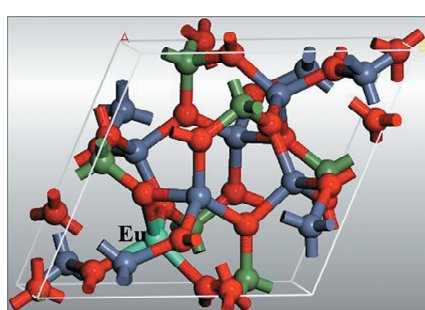
Atom	Oxidation state	X/nm	Y/nm	Z/nm
Ge	+4	0.465	0.229	0.056
Zn1	+2	0.798	0.562	0.389
Zn2	+2	0.132	0.896	0.723
O1	-2	0.317	0.005	-0.034
O2	-2	0.625	0.312	0.272
O3	-2	0.973	0.641	0.636
O4	-2	0.579	0.249	-0.078



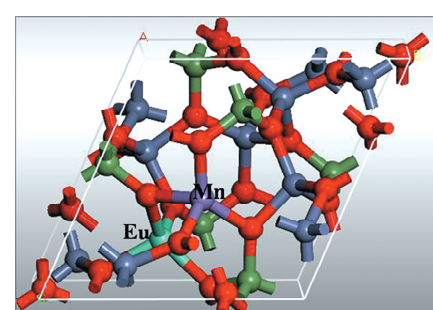
(a) Zn_2GeO_4



(b) $Zn_2GeO_4 : Mn$



(c) $Zn_2GeO_4 : Eu$



(d) $Zn_2GeO_4 : Mn/Eu$

图 1 Zn_2GeO_4 和 Mn/ Eu 掺杂 Zn_2GeO_4 晶体结构模型

Fig. 1 Structures of Zn_2GeO_4 and Mn/ Eu doped Zn_2GeO_4 crystals

本文在倒易空间中进行能量计算, 以保证具有较高的精确性和计算效率, 计算过程中截止能(E_{cut})设为 380 eV, 采用 $4 \times 4 \times 2$ 的特殊 K 点对布里渊区求和, 能量自洽收敛准确度约 10^{-6} eV, 作用在每个原子上的力不大于 0.02 eV/nm, 内应力不大于 0.05 GP, 原子最大位移为 10^{-4} nm。

相关文献研究表明^[16-17], Mn^{2+} 离子(半径为 0.66 Å)的掺杂直接占据晶体中的 Zn^{2+} (半径为 0.60 Å)位置, Eu^{3+} 离子(Eu^{2+} 离子半径为 1.17 Å, Eu^{3+} 离子半径为 0.97 Å)的半径虽然比 Zn^{2+} 离子半径大很多, 但是相对于 Ge^{4+} 离子(半径为 0.39 Å)而言, 更倾向于占据 Zn^{2+} 的位置, 理论计算的结果也支持以上观点^[12]。因此在本文计算过程中, Mn 离子和 Eu 离子分别取代晶体中的 Zn^{2+} 离子位置, 构建了图 1 所示的四种晶体结构模型。

3 计算结果和讨论

3.1 Mn/Eu 掺杂对 Zn_2GeO_4 晶体结构稳定性的影响

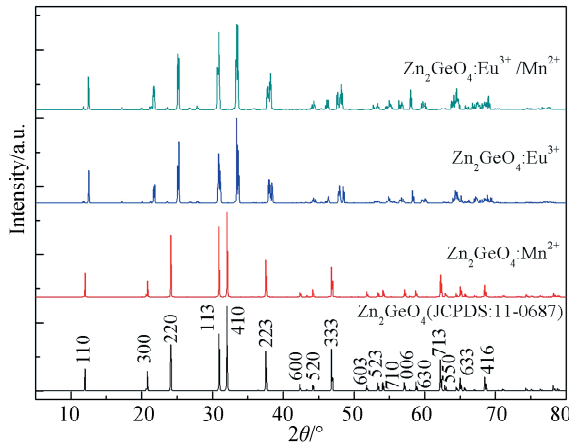


图 2 Mn/Eu 掺杂 Zn_2GeO_4 晶体 XRD 图

Fig. 2 XRD spectra of optimized Mn/Eu doped Zn_2GeO_4

图 2 是利用 CASTEP 模块理论计算得到的未掺杂和掺杂 Zn_2GeO_4 晶体 XRD 图谱。将 XRD 图谱和表 2 数据结果结合分析发现, Mn^{2+} 离子掺杂没有产生 Zn_2GeO_4 晶体结构的相变, 但会造成晶体结构轻微收缩。通过对熵的计算结果发现, Mn^{2+} 离子掺杂使 Zn_2GeO_4 晶体结构更加稳定。从 Eu 离子掺杂 XRD 图谱可以看出, 其衍射峰向大角度发生移动, 这种移动会导致 Zn_2GeO_4 晶体晶格常数变小, 从而导致晶胞体积减小。 Eu 离子掺杂后 Zn_2GeO_4 晶体熵增加, 从而使晶体结构的稳定性降低。 Mn/Eu 共掺杂 Zn_2GeO_4 晶体后, 其衍射峰与 Eu

掺杂结果基本保持一致, 然而其熵相较于 Eu 离子掺杂 Zn_2GeO_4 晶体的熵而言有所减小。这表明 Mn^{2+} 离子掺杂增加了 Zn_2GeO_4 晶体的结构稳定性。以上理论结果与实验结果完全相吻合^[18,10,15]。根据文献研究表明^[19], Mn/Eu 对掺杂 Zn_2GeO_4 晶体结构影响的这种特点主要来源于 Zn_2GeO_4 晶体长程有序性。

表 2 Mn/Eu 掺杂 Zn_2GeO_4 晶体结构参数

Tab. 2 Optimization of Mn/Eu doped Zn_2GeO_4 unit cell structure parameters

Parameters	Zn_2GeO_4	$Zn_2GeO_4 : Mn$	$Zn_2GeO_4 : Eu$	$Zn_2GeO_4 : Eu/Mn$
a/nm	0.908 8	0.908 4	0.877 6	0.875 6
b/nm	0.908 8	0.908 2	0.881 7	0.884 1
c/nm	0.908 8	0.908 1	0.868 2	0.872 4
$\alpha/^\circ$	108.72	108.67	107.72	107.76
$\beta/^\circ$	108.72	108.69	107.69	107.59
$\gamma/^\circ$	108.72	108.70	107.72	107.59
V/nm^3	0.593	0.592	0.548	0.552
Enthalpy/eV	-3.17	-3.06	-3.25	-3.15

3.2 Mn/Eu 掺杂 Zn_2GeO_4 晶体的电子结构分析

为了更好地揭示 Mn/Eu 掺杂对 Zn_2GeO_4 晶体结构稳定性的影响, 表 3 给出了未掺杂和掺杂 Zn_2GeO_4 晶体电荷布居数。

表 3 Mn/Eu 掺杂 Zn_2GeO_4 晶体 Mulliken 电荷布居数

Tab. 3 The Mulliken Populations of Mn/Eu doped Zn_2GeO_4

Mulliken charge/e	Zn	Ge	O	Mn	Eu
Zn_2GeO_4	0.85	1.81	-0.88		
$Zn_2GeO_4 : Mn$	0.86	1.83	-0.88	0.91	
$Zn_2GeO_4 : Eu$	0.87	1.75	-0.87	1.29	
$Zn_2GeO_4 : Eu/Mn$	0.86	1.78	-0.86	0.83	1.26

从电荷布居数计算结果可以看出, 相较于本征 Zn_2GeO_4 晶体, Mn^{2+} 离子替代 Zn^{2+} 离子几乎对 Zn_2GeO_4 晶体中其他离子电荷分布几乎没有影响, 同时 Mn 离子电荷布居数与 Zn 离子电荷布居数几乎相同, 这也从电性的角度揭示了 Mn^{2+} 离子掺杂对 Zn_2GeO_4 晶体结构几乎没用影响的原因。

图 3 电荷差分密度分布也给出了同样的结果。然而通过图 3 进一步发现, Mn^{2+} 离子掺杂使电荷分布离域化, 这种电荷离域化的原因来源于 Mn^{2+} 离子自身的特点, Mn 离子作为过渡金属离子, 由

于具有未充满的价层 d 轨道, 其价电子结合较为松散且具有可变价态, 因此在 Zn_2GeO_4 晶体场的作用下, 其 3d 轨道发生能级劈裂, 从而使 Zn_2GeO_4 晶

体电荷重新分布, 而这种离域化电子的产生正是导致 Mn^{2+} 离子成为发光中心, 使 Zn_2GeO_4 晶体具有长余辉发光性质.

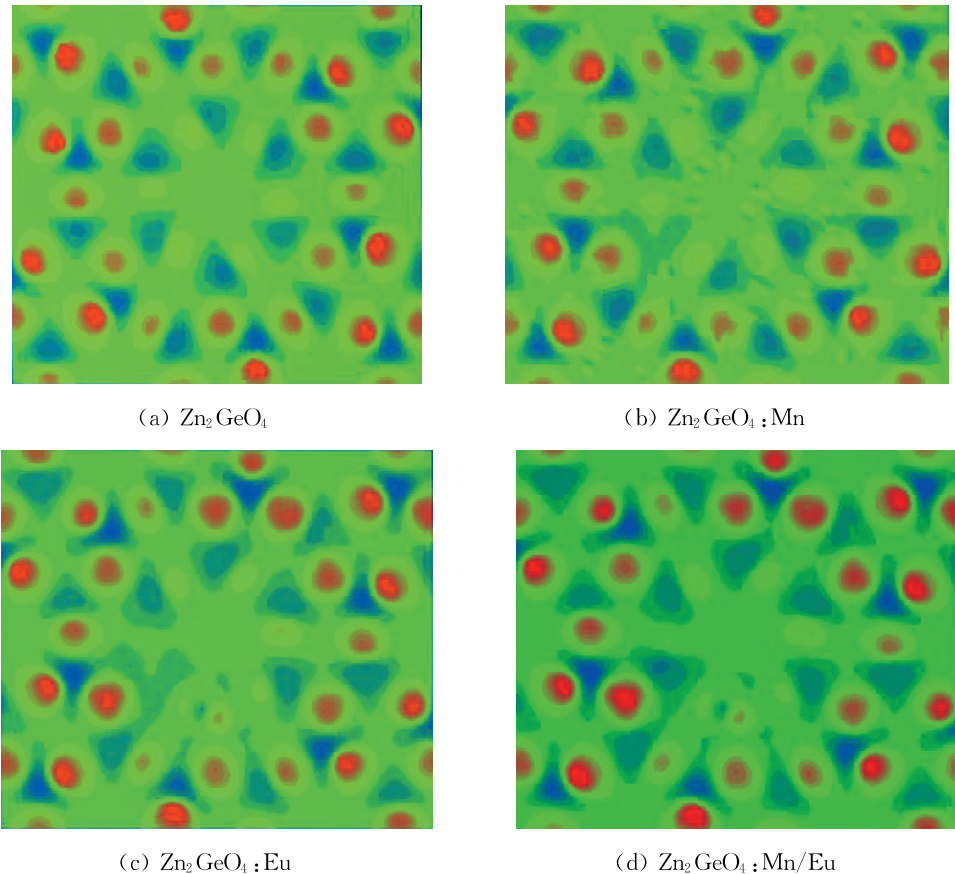


图 3 Mn/Eu 掺杂 Zn_2GeO_4 晶体电荷差分密度分布图
Fig. 3 The electron density difference of Mn/Eu doped Zn_2GeO_4

Eu 离子具有 +2 和 +3 两种价态, Eu 离子掺杂占据 Zn_2GeO_4 晶体中的 Zn^{2+} 离子, 相较于 Zn^{2+} 离子而言, 无论是 Eu 离子在 Zn_2GeO_4 晶体以何种价态存在, 其离子半径均远远大于 Zn^{2+} 离子半径, 因此这必然造成晶格结构发生相变或畸变, 导致晶体结构体积增加. 然而根据实验^[15]和理论计算发现, Eu 离子掺杂使 Zn_2GeO_4 晶体既没有产生相变, 反而使晶体结构体积变小, 这意味着 Eu 离子占据 Zn^{2+} 离子后, 只可能呈现更高的价态, 由于电荷之间具有更强的相互作用, 从而导致 Eu 离子周围局域结构结合更加紧密. 表 3 中 Eu 离子和 Zn 离子电荷布居数和图 3(c, d) Eu 掺杂 Zn_2GeO_4 电荷差分密度分布的结果很好的验证了以上分析, 因此可认为 Eu 离子在 Zn_2GeO_4 晶体中以 +3 价存在. 相对 Zn^{2+} 离子而言, Eu^{3+} 离子的电荷布居数和离子半径明显更大, 因此掺杂后很容易形成电子捕获中心, 使 Eu^{3+} 离子成为陷阱中心.

3.3 Mn/Eu 掺杂 Zn_2GeO_4 晶体发光机制模型的建立

本征 Zn_2GeO_4 晶体不具有长余辉性能, Mn^{2+} 离子掺杂可使 Zn_2GeO_4 晶体发出波长为 635 nm 的绿色荧光. 进一步研究发现, Mn/Eu 共掺杂 Zn_2GeO_4 晶体能够延长其长余辉发光时间, 但是不改变其长余辉发光颜色^[6, 14-15]. 根据以上实验结果相关文献给出了解释, Mn^{2+} 离子掺杂为 Zn_2GeO_4 晶体长余辉性能提供了发光中心, 而 Eu^{3+} 离子的进入增加了 Zn_2GeO_4 晶体中电子捕获陷阱的浓度. 到目前为止, 如何根据以上实验结果来建立一个 Mn/Eu 共掺杂 Zn_2GeO_4 晶体发光机制模型还没有清晰的思路, 而机制模型的建立可以使人们从微观角度更好地理解 Mn/Eu 共掺杂 Zn_2GeO_4 晶体的长余辉性能, 从而为实现该类材料的长余辉性能的调控和实用化提供支持.

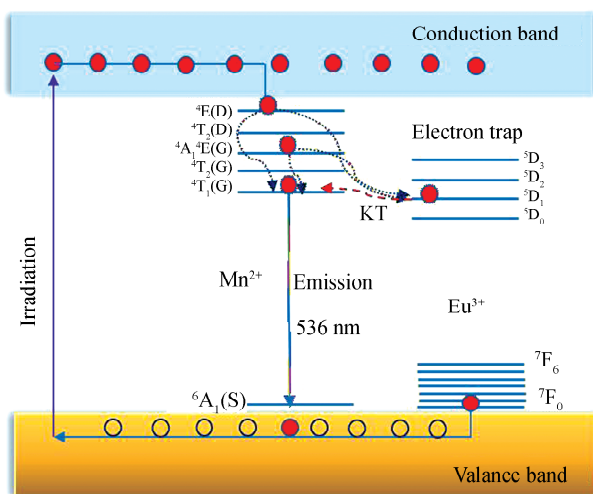


图 4 Mn/Eu 共掺杂 Zn_2GeO_4 晶体长余辉发光机理示意图

Fig. 4 Schematic diagram of Mn/Eu doped Zn_2GeO_4 long-lasting luminescence mechanism

根据实验结果和以上理论分析得出的结论, 构建了图 4 所示的 Mn/Eu 共掺杂 Zn_2GeO_4 晶体长余辉发光机理模型。由于 Eu 原子占据 Zn 原子位置属于 n 型半导体掺杂, 因此在 Eu^{3+} 离子周围多了一个电子。结合图 5 Mn/Eu 共掺杂 Zn_2GeO_4 晶体总态密度和分态密度可知, 该电子处于 Eu^{3+} 离子的 4f 轨道。相对而言该电子受到晶体场的束缚能比较弱, 因此在外界光激发的作用下, 处于 Eu^{3+} 离子 7F_0 基态的电子吸收能量很容易从价带激发到

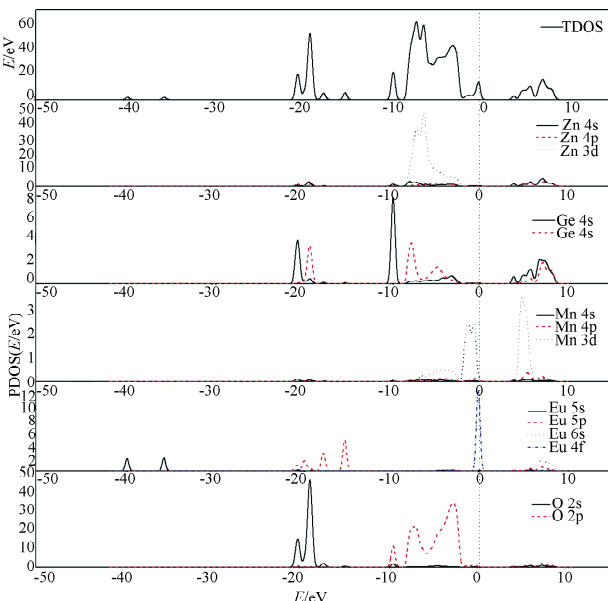


图 5 Mn/Eu 共掺杂 Zn_2GeO_4 晶体总态密度和分态密度图

Fig. 5 The densities of total state and partial states of Mn/Eu doped Zn_2GeO_4

导带成为自由电子, 从而在价带形成空穴。当足够多的电子在光激发过程中被激发到导带后, 电子向 Mn^{2+} 离子 $^4E(D)$ 能级跃迁。根据能级跃迁量子化选择定则, 电子由 Mn^{2+} 离子 $^4E(D)$ 能级和 $^4A_1(G)$ 能级向低能级跃迁过程中, 一部分电子直接跃迁到 Mn^{2+} 离子 $^4T_1(G)$ 能级而发光, 另一部分电子通过非辐射的形式被 Eu^{3+} 离子 5D_1 能级捕获。在退激发之后, 由于热效应, 处于 Eu^{3+} 离子 5D_1 陷阱中心的电子通过非辐射弛豫再次跃迁到 Mn^{2+} 离子 $^4T_1(G)$ 能级上, 从而在 Mn^{2+} 离子 $^4T_1(G)$ 和 $^6A_1(S)$ 能级间跃迁, 向外界不断发出波长为 536 nm 的长余辉绿色光, 增强了发光强度和发光时间。同时电子跃迁到基态后与光激发过程中产生的空穴相互结合, 使晶体又回到原来的初始状态。

4 结 论

根据相关文献研究结果构建了 Mn/Eu 掺杂 Zn_2GeO_4 材料晶体结构模型。通过计算后的 XRD 图谱和晶体结构参数表明, Mn/Eu 掺杂 Zn_2GeO_4 晶体未造成晶体结构发生相变, 但会引起晶体结构发生轻微畸变。 Mn^{2+} 离子掺杂能够增加 Zn_2GeO_4 晶体的结构稳定性。通过电荷布居数和电荷差分密度分布的讨论, Mn 离子在 Zn_2GeO_4 晶体中以 +2 价存在。由于 Mn^{2+} 离子具有 3d 轨道, 使 Zn_2GeO_4 晶体中的电荷出现离域化特征, 这种离域化电子的产生正是导致 Mn^{2+} 离子成为发光中心。 Eu^{3+} 离子以 +3 价存在, 由于 Eu^{3+} 离子相较于 Zn^{2+} 而言, 无论是离子半径还是电荷数量都存在较大差别, 从而在 Zn_2GeO_4 晶体中形成更多的陷阱中心。结合实验结果和以上理论分析, 本文构建了 Mn/Eu 共掺杂 Zn_2GeO_4 晶体长余辉发光机理模型。

参考文献:

- [1] 苏高鸣, 沈瑞晨, 谈洁, 等. 长余辉荧光粉在光催化系统中的应用研究进展 [J]. 高等学校化学学报, 2020, 41: 2404.
- [2] Zahra R, Jacob J, Bano N, et al. Effect of secondary phases on the thermoelectric properties of Zn_2GeO_4 nano-crystals grown by thermal evaporation on Au coated Si substrate [J]. Physica B, 2019, 564: 143.
- [3] Duan X, Yuan M, Ou K, et al. Synthesis process dependent white LPL in Zn_2GeO_4 ceramic and the long afterglow mechanism [J]. Mater Today Commun, 2020, 24: 100915.

- [4] Fu Z, Zhao X, Zhang S, *et al.* Preparation of nano-Zn₂GeO₄/rGO composite photocatalyst and its treatment of synthetic dye wastewater [J]. Mater Chem Phys, 2021, 259: 124004.
- [5] 孙中新. Yb³⁺共掺杂对Zn₂GeO₄: Mn²⁺绿色长余辉发光性能增强研究[J]. 无机化学学报, 2012, 28: 1229.
- [6] 赵淑婷, 李文琪, 龚博石, 等. Zn₂GeO₄: Mn²⁺绿色磷光粉的制备和长余辉性能[J]. 发光学报, 2019, 40: 189.
- [7] 李宏. 几种离子掺杂Zn₂GeO₄的发光和光催化性能研究[D]. 广州: 广东工业大学, 2018.
- [8] Cong Y, He Y, Dong B, *et al.* Long afterglow properties of Zn₂GeO₄: Mn²⁺, Cr³⁺ phosphor [J]. Opt Mater, 2015, 42: 506.
- [9] Zhang S, Hu Y, Chen L, *et al.* Systematic investigation of photoluminescence on the mixed valence of europium in Zn₂GeO₄ host [J]. Appl Phys A; Mater, 2014, 116: 1985.
- [10] Bai Q, Wang Z, Li P, *et al.* Utilizing Tb³⁺ as the energy transfer bridge to connect Eu³⁺-Zn₂GeO₄ host: realization of efficient Eu³⁺ red emission [J]. Mater Design, 2016, 108: 597.
- [11] Wang Z, Tang Z, Peng X, *et al.* New viewpoint about the persistent luminescence mechanism of Mn²⁺/Eu³⁺ co-doped Zn₂GeO₄ [J]. Int J Mod Phys B, 2019, 33: 1950389.
- [12] 常鑫鑫, 沈礼, 武晓瑞, 等. Eu原子4f-76snl Rydberg态的研究[J]. 物理学报, 2017, 66: 112.
- [13] 梁思思, 尚蒙蒙, 林君. 混合价态Eu(+2,+3)离子激活的单一组分发光材料:设计合成、发光性质及机理[J]. 物理化学学报, 2018, 34: 237.
- [14] Srivastava B B, Gupta S K, Li Y, *et al.* Bright persistent green emitting water-dispersible Zn₂GeO₄: Mn nanorods [J]. Dalton Trans, 2020, 49: 7328.
- [15] Yao H, Zhang Y, Xu Y. Dopant concentration-dependent morphological evolution of Zn₂GeO₄: Mn²⁺/Eu³⁺ phosphor and optical temperature sensing performance [J]. J Alloy Compd, 2019, 770: 149.
- [16] Li H, Wang Y, Li L, *et al.* Enhanced photocatalytic activity and persistent luminescence in Zn₂GeO₄: Mn²⁺ by Eu³⁺ doping [J]. Mod Phys Lett B, 2016, 30: 1650305.
- [17] Peng X, Tang Z, Luo Y, *et al.* Visual color modulation and luminescence mechanism studies on Mn/Eu co-doped Zn-Mg-Ge-O long afterglow system [J]. Ceram Int, 2020, 46: 14005.
- [18] Chi F, Wei X, Jiang B, *et al.* Luminescence properties and the thermal quenching mechanism of Mn²⁺ doped Zn₂GeO₄ long persistent phosphors [J]. Dalton Trans, 2018, 47: 1303.
- [19] Wang J, Xu P, Yuan H, *et al.* Negative thermal expansion driven by acoustic phonon modes in rhombohedral Zn₂GeO₄ [J]. Results Phys, 2020, 19: 103531.

引用本文格式:

- 中 文: 吴成国, 裴克梅, 何苏红, 等. Mn²⁺/Eu³⁺共掺杂Zn₂GeO₄长余辉基质材料发光机理的研究[J]. 四川大学学报: 自然科学版, 2021, 58: 064006.
- 英 文: Wu C G, Pei K M, He S H, *et al.* Luminescence mechanism studies on Mn²⁺/Eu³⁺ co-doped Zn₂GeO₄ long afterglow system [J]. J Sichuan Univ: Nat Sci Ed, 2021, 58: 064006.